

سنتر، شناسایی و ساختار بلوری ترکیب آزو- بازشیف "اتیل ۲-(E)-۴-(E)-۴-اتیل- فنیل) دی آزنیل)-۲-هیدروکسی بنزیلیدین(آمینو)-۷،۵،۴-تتراهیدروبنزو[b]تیوفن-۳-کربوکسیلات"

سعید منتی^{*}، فاطمه میر^۱، بهروز نوتاش^۲

۱- گروه شیمی، واحد خرم آباد، دانشگاه آزاد اسلامی، خرم آباد، ایران

۲- گروه شیمی، دانشگاه شهید بهشتی، اوین، تهران ۱۴۳۹۶۱۳۳۱، ایران

(دریافت مقاله: ۹۸/۱۱/۲۸، نسخه نهایی: ۹۸/۱۱/۲۸)

چکیده: ترکیب جدید آزو-بازشیف "اتیل ۲-(E)-۴-(E)-۴-اتیلفنیل) دی آزنیل)-۲-هیدروکسی بنزیلیدین(آمینو)-۷،۵،۴-تتراهیدروبنسو[b]تیوفن-۳-کربوکسیلات" از واکنش "اتیل ۲-آمینو-۴،۷،۶،۵-تتراهیدروبنسو[b]تیوفن-۳-کربوکسیلات" و "۴-اتیل فنیل) دی آزنیل)-۲-هیدروکسی بنزآلدهید"، با نسبت مولی ۱:۱، در حل مтанول و در شرایط تقطیر تهیه شد. شناسایی ترکیب با استفاده از روش‌های تجزیه عنصری، طیف سنجی فروسرخ، تشید مغناطیسی هسته هیدروژن (HNMR) و پراش پرتو X تکبلور آن در دمای اتاق انجام شد. این ترکیب دارای سیستم بلوری سه میل، گروه فضایی $P\bar{I}$ و دو مولکول در یاخته یکه است و پارامترهای یاخته یکه آن عبارت‌اند از $a = ۹,۷۵۲(۲)\text{\AA}$ ، $b = ۱۰,۳۴۹(۲)\text{\AA}$ ، $c = ۱۳,۲۶۳(۳)\text{\AA}$ ، $\alpha = ۸۷,۷۲(۳)^{\circ}$ ، $\beta = ۷۵,۸۰(۳)^{\circ}$ ، $\gamma = ۷۲,۲۱(۳)^{\circ}$. مقدار نهایی (R) برای ۴۰۳۸ بازتابش مستقل برابر با ۰,۰۹۸ است. نتایج پراش پرتو ایکس ساختار هندسی مسطح با کمی انحراف و پیوند هیدروژنی درون مولکولی در ترکیب را تایید کرد.

واژه‌های کلیدی: ترکیب بازشیف؛ ترکیب آزو؛ ساختار بلوری؛ ساختار مسطح.

مقدمه

رنگ‌آمیزی بافت پارچه‌ها، پلاستیک‌ها و مواد مختلف، بررسی-های زیست‌شناسی - پژوهشی و تهیه مواد آلی پیشرفته استفاده می‌شود [۱]. این رنگ‌ها گاهی به صورت کمپلکس‌های فلزی نیز تهیه می‌شوند که به آن‌ها رنگدانه‌های آزو فلز گفته می‌شود. ترکیب‌های آزو از بزرگترین گروه‌ها با توانایی ذخیره اطلاعات نوری و کلیدزنی‌های نوری هستند [۲]. امروزه این نوع رنگدانه‌ها بسیار مورد توجه قرار دارند، زیرا افزون بر مقاومت شیمیایی و گرمایی بالا، دارای رنگ‌های متنوع و ویژگی‌های بی مانندی نیز هستند [۳].

ترکیب‌های ناجور حلقه به شکل گستره‌های در طبیعت توزیع شده‌اند و برای حیات ضروری هستند. در این رابطه، بسیاری از ترکیب‌های ناجور حلقه فعل از نظر دارویی با کاربرد

آزوها ترکیب‌هایی غیر سمی دارای گروه‌های عاملی R-N=N-R' : به ترتیب گروه‌های آلكیل و آریل هستند [۴]. ترکیب‌های آزوآلیفاتیک نسبت به ترکیب‌های آزو-آروماتیک کمتر یافت می‌شوند. برخی ترکیب‌های آزو-آلیفاتیک به عنوان آغازگر رادیکالی در واکنش‌های پلیمرشدن به کار می-روند [۵]. ترکیب‌های آریل آزو-گونه‌های بلورین و معمولاً پایدار هستند. آزوینزن ترکیب آزو-آروماتیکی است که به طور عمده به صورت ایزومر ترانس وجود دارد اما بر اثر نور کافت به ایزومر سیس تبدیل می‌شود [۶]. سیستم اوربیتال‌های π نامستقر در ترکیب‌های آریل آزو موجب ظهور رنگ‌های روشن از زرد تا قرمز می‌شود. با توجه به غیرسمی بودن این ترکیب‌ها، از آن‌ها در

استفاده قرار گرفت. طیف تبدیل فوریه فروسرخ (FTIR) با استفاده از دستگاه طیفسنج Perkin-Elmer RXI در گستره $4000-400\text{ cm}^{-1}$ با استفاده از قرص KBr ثبت شد. طیف‌های $^1\text{H-NMR}$ نمونه‌ها در حلال‌های CDCl_3 و یا DMSO به وسیله دستگاه BruckerAvance DPZ-250 (250.130 MHz) گرفته شد. تجزیه عنصری با استفاده از دستگاه Heraus CHN Pro انجام شد. ساختار بلوری نمونه‌ها به وسیله دستگاه پراش پرتو ایکس STOE IPDS II با تابش Mo-K α (طول موج 0.71073 \AA) و گرافیت تک فام ساز، در دمای اتاق تعیین شد. داده‌ها با استفاده از برنامه IPDS II پردازش شدند.

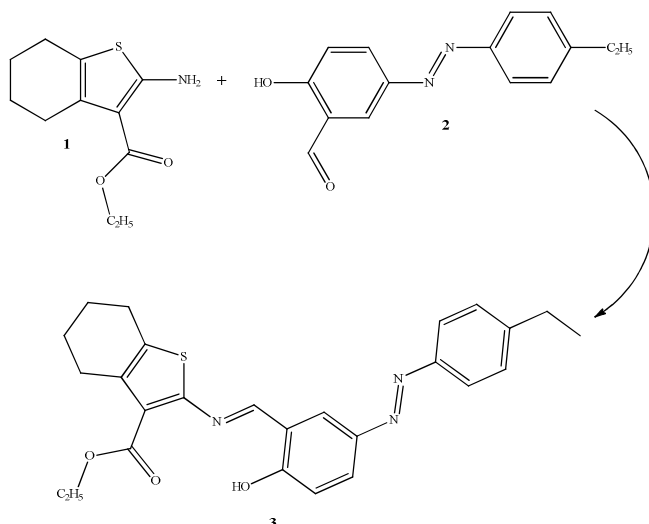
تهیه "اتیل-۲-آمینو-۴،۵،۶،۷-تراترایدروبنزو[b] تیوفن-۳-کربوکسیلات"(1)
ترکیب "اتیل-۲-آمینو-۴،۵،۶،۷-تراترایدروبنزو[b] تیوفن-۳-کربوکسیلات" بر اساس روش گزارش شده در مراجع [۱۴-۱۲] تهیه شد. مخلوطی از ۴۹۱ گرم (۰.۰۵ مول) سیکلولهگزانون، ۵۶۶ گرم (۰.۰۵ مول) اتیل‌سیانوات است و ۱۶۶ گرم (۰.۰۵ مول) گوگرد در ۱۵ میلی‌لیتر اتانول حل گردید. سپس ۴۹۱ گرم (۰.۰۵ مول) مورفولین به محلول اضافه شده و مخلوط واکنش به مدت یک ساعت تقطیر برگشتی و به هم زده شد. رسوب زرد رنگ تشکیل شده با آب مقطر شسته و در خلاً خشک گردید. (بازده واکنش ۸۵٪ و نقطه ذوب ترکیب حدود $115-111^\circ\text{C}$). بدست آمد و طول موج بیشینه ترکیب در 321 nm ظاهر شد.

بالینی وجود دارند [۸]. بررسی‌های علمی نشان می‌دهد که تیوفن پایه مجموعه‌ای از ترکیب‌های مهم در شیمی، پزشکی و صنعتی است. تیوفن‌ها از بهترین رده‌های ترکیب‌های ناجورحلقه با گستره وسیعی از فعالیت‌های زیستی هستند. آنها طی دو دهه اخیر بیشتر مورد توجه قرار گرفته‌اند، به طوری که با گستره وسیعی از ویژگی‌های درمانی چون ضد درد، ضد باکتری، آنتی اکسیدان، ضد التهاب، ضد قارچ، ضد سرطان و فعالیت داروی بی‌هوشی مورد استفاده قرار می‌گیرند [۹، ۱۰]. تیوفن را می‌توان با هسته‌های ناجورحلقه مختلف ترکیب کرده و ترکیب‌های جدیدتری با فعالیت‌های زیستی بهبود یافته به دست آورد [۱۱].

تاکنون از واکنش آمین "اتیل-۲-آمینو-۴،۵،۶،۷-تراترایدروبنزو[b] تیوفن-۳-کربوکسیلات" با آلدیدهایی چون سالیسیل آلدید و نفتالدالدید ترکیب‌های بازشیف گواناگونی سنتز شده‌اند [۱۲، ۱۳]. هدف از این پژوهش، سنتز آلدید دارای گروه آزو با نام "(E)-۵-(۴-اتیل فنیل)آزیل-۲-هیدروکسیبنزالدید" و واکنش آن با آمین "اتیل-۲-آمینو-۴،۵،۶،۷-تراترایدروبنزو[b] تیوفن-۳-کربوکسیلات" است که منجر به سنتز ترکیب آزو بازشیف جدیدی می‌شود. این ترکیب بازشیف نامتقارن و انعطاف‌پذیر بوده و دارای پیوند هیدروژنی درون مولکولی است (شکل ۱).

بخش تجربی

همه مواد مورد استفاده در این پژوهش با خلوص تجزیه‌ای از شرکت مرک خریداری شد و بدون هیچ خالص‌سازی مورد



شکل ۱ روش تهیه ترکیب آزو بازشیف(3).

بحث و برداشت بررسی داده‌های طیفی

ترکیب آزو بازشیف تهیه شده در دمای 197°C ذوب شد. داده‌های تجزیه عنصری ترکیب بازشیف بر اساس فرمول تجربی $\text{C}_{26}\text{H}_{27}\text{N}_3\text{O}_3\text{S}$ در جدول ۱ آورده شده است. در طیف-IR لیگاند بازشیف در $3650-3590\text{ cm}^{-1}$ هیچ نوار جذبی مربوط به مد کششی گروه هیدروکسی فنلی آزاد باشد دیده نمی‌شود و این نشان می‌دهد که این گروه با نیتروژن ایمین پیوند هیدروژنی درون مولکولی دارد. نواهای پهن ضعیفی در $2947-2360\text{ cm}^{-1}$ دیده می‌شود که مربوط به مد ارتعاشی O-H است که با نواهای کششی C-H همپوشش دارند. یکی از این نواهای که به صورت قله شدید و تیزی در 2947 cm^{-1} دیده می‌شود مربوط به ارتعاشات N-H است که با نوار C-H همپوشش دارد [۱۹]. قله شدید در 1698 cm^{-1} مربوط به مد کششی C=N ایمین است [۲۰]. یک نوار جذبی شدید در 1597 cm^{-1} دیده می‌شود که مربوط به مد کششی N=N است. نوار ظاهر شده در 1485 cm^{-1} مربوط به ارتعاشات حلقه فنلی C=C است [۲۱]. نوار جذبی در 1247 cm^{-1} مربوط به C-O است [۲۲].

جابجایی‌های شیمیایی تشید مغناطیسی هسته هیدروژن (HNMR) ترکیب آزو بازشیف در حلal CDCl_3 در جدول ۲ آورده شده است. در طیف ${}^1\text{H NMR}$ لیگاند، قله‌های یکتایی موجود در 13.35 و به ترتیب 8.61 ppm مربوط به پروتونون فنلی (OH) و پروتون گروه ایمینی (CH=N) هستند. قله مربوط به پروتون‌های حلقه‌های آروماتیک در $8.03-8.03\text{ ppm}$ ظاهر می‌شود. قله پروتون‌های (2) CH_2 به صورت یک قله چهارتایی در 84.43 ppm آشکار می‌شود. قله مربوط به پروتون‌های (6,9) CH_2 به صورت یک قله سه‌تایی در 82.81 ppm دیده می‌شود. قله پروتون‌های (22) CH_2 به صورت یک قله چهارتایی در 82.72 ppm ظاهر می‌شود. قله مربوط به پروتون‌های (7) و $\text{CH}_2(8)$ به صورت یک قله پنج‌تایی در 81.84 ppm دیده می‌شود. قله پروتون‌های (1) CH_3 به صورت یک قله سه‌تایی در 81.42 ppm و قله مربوط به پروتون‌های (23) CH_3 به صورت یک قله سه‌تایی در 81.29 ppm ظاهر می‌شود.

تهیه "E-(E)-۵-(۴-اتیل فنیل)دیآزنیل)-۲-هیدروکسی-بنزالدهید" (2) آلدھید (E)-(E)-۵-(۴-اتیل فنیل)دیآزنیل)-۲-هیدروکسی-بنزالدهید برو اساس روش گزارش شده در مراجع [۱۸-۱۵] تهیه شد. مقدار 0.01 mol از ۴-اتیل آنیلین در مخلوط اسید کلریدریک/آب به نسبت $4/9$ در دمای $70-100^{\circ}\text{C}$ حل شد. محلول به دست آمده در مخلوط آب و یخ ریخته شد. مقدار 0.01 g از نیتریت سدیم نیز در 5 ml لیتر آب مقطر حل شده و قطره قطره در دمای $0-5^{\circ}\text{C}$ به مخلوط آب و یخ اضافه شد تا تشکیل نمک دی آزنیوم کامل گردد. در ظرف دیگری، مقدار 0.01 ml لیتر آب مقطر ریخته و 0.023 g کربنات سدیم نیز در آن حل شد. سپس، مقدار 0.01 g سدیم هیدروکسید به آن اضافه شد، آن را در حمام یخ قرار داده و مقدار 0.01 mol ۲-هیدروکسی بنزالدهید به آن اضافه گردید. محلول دی آزو به تدریج به محلول در حال چرخش اضافه شد. مخلوط در دمای محیط به مدت ۵ ساعت همزده شد. پس آن، رسوب‌های به دست آمده صاف شده و شستشو داده شدند. ترکیب‌های ایجاد شده با استفاده از اتانول گرم نوبلور شدند. سرانجام آلدھیدهای به دست آمده در دمای 100°C و برای 10 ساعت خشک شدند. (بازده واکنش 75% و نقطه ذوب ترکیب 172°C بdest آمد و طول موج بیشینه ترکیب در 458 nm ظاهر شد).

تهیه ترکیب آزو بازشیف (E)-(۴-اتیل-۲-هیدروکسی-بنزالدهید) فنیل)دیآزنیل)-۲-هیدروکسی-بنزیلیدین آمینو- $4,5,6,7$ -تتراهیدروبیزون-۳-کربوکسیلات (۳) مقدار 0.1 g از آمین "اتیل-۲-آمینو-۴-کربوکسیلات" در 30 ml لیتر اتانول و مقدار 0.1 g از آلدھید (E)-(E)-۵-(۴-اتیل فنیل)دیآزنیل)-۲-هیدروکسی-بنزالدهید" در 20 ml لیتر اتانول حل شد. محلول آمین به مدت 30 دقیقه و قطره قطره به محلول آلدھید اضافه شد. سپس مخلوط آن‌ها به مدت 3 ساعت بازروانی شده و محلول به دست آمده برای 24 ساعت در دمای محیط به هم زده شد. پس از آن، رسوب به دست آمده صاف گردید و در دمای 50°C خشک شد. (بازده واکنش 70% و نقطه ذوب ترکیب 197°C بdest آمد و طول موج بیشینه ترکیب در 355 nm ظاهر شد).

جدول ۱ داده‌های تجزیه عنصری ترکیب آزو بازشیف (۳).

درصد وزنی	C	H	N
مقدار محاسبه شده	%۶۷,۶۵	%۵,۸۹	%۹,۱۰
مقدار تجربی	%۶۷,۲۳	%۵,۷۱	%۹,۲۲

جدول ۲ جابجایی شیمیایی ترکیب لیگاند آزو بازشیف (۳).

نوع پروتون	جابجایی شیمیایی (ppm)	نوع قله
OH	۱۳,۵۰	یکتایی
(CH=N)	۸,۶۱	یکتایی
پروتون‌های حلقه آромاتیک	۷,۱۱-۸,۰۳	چندتایی
CH ₂ (2)	۴,۴۳	چهارتایی
CH ₂ (6,9)	۲,۸۱	سه تایی
CH ₂ (22)	۲,۷۴	چهارتایی
CH ₂ (7,8)	۱,۸۴	پنج تایی
CH ₃ (1)	۱,۴۲	سه تایی
CH ₃ (23)	۱,۴۲	سه تایی

دوگانه ایمین (C=N) و تشکیل بازشیف در پیوند -N(1)-C(12)-N(2)-C(13)-N(1)-C(12)-N(3)-C(17)-N(2)-N(3)-C(19)-N(2)-C(11۳,۲)-N(3)-C(1) در ترکیب آزو بازشیف، طول پیوند N(2)-N(3)-C(13)-N(1)-C(12)-N(3)-C(17)-N(2)-N(3)-C(19)-N(2)-C(11۳,۲)-N(3)-C(1) ناشی می‌شود [۲۳,۲۴]. در ترکیب آزو بازشیف، طول پیوند N(2)-N(3)-C(13)-N(1)-C(12)-N(3)-C(17)-N(2)-N(3)-C(19)-N(2)-C(11۳,۲)-N(3)-C(1) برابر با ۱,۲۳۵(۴) Å و تقريباً مشابه با طول N(3)-N(2)-C(12)-N(1)-C(13)-N(1)-C(12)-N(3)-C(17)-N(2)-N(3)-C(19)-N(2)-C(11۳,۲)-N(3)-C(1) در ترکیب آزو (۶) Å است [۱۸] و وجود پیوند دوگانه آزو در این قسمت از ترکیب را نشان می‌دهد. در اين ترکيب، زاويه‌های N(1)-C(12)-N(3)-C(17)-N(2)-N(3)-C(19)-N(2)-C(11۳,۲)-N(3)-C(1) با اندازه ۱۲۱,۷ درجه و N(1)-C(12)-N(3)-C(17)-N(2)-N(3)-C(19)-N(2)-C(11۳,۲)-N(3)-C(1) با اندازه ۱۲۱,۰ درجه و N(1)-C(12)-N(3)-C(17)-N(2)-N(3)-C(19)-N(2)-C(11۳,۲)-N(3)-C(1) با اندازه ۱۲۱,۷ درجه [۳]. زوایای طریق اتصال C=N ایمینی متبلور شده است [۱۸].

تكميلی

اطلاعات کامل بلور در مرکز اطلاعات بلورنگاری کمبریج (CCDC) با عدد ۱۸۸۹۸۱۰ به ثبت رسیده و از طریق آدرس www.ccdc.cam.ac.uk/conts/retrieving.html قابل دریافت است.

بررسی داده‌های بلورنگاری

براساس پراش پرتو ایکس بلور ترکیب آزو بازشیف آن فرمول $C_{26}H_{27}N_3O_3S$ به دست آمد. اين ترکيب در سیستم بلوري سه میل با گروه فضایی $P\bar{I}$ و دو مولکول در ياخته یکه متبلور شده است. داده‌های بلوري، طول پیوندها و زوایای پیوندی مهم ترکیب به ترتیب در جدول‌های ۳ و ۴ ارائه شده‌اند. در این ترکیب، بین هیدروژن گروه هیدروکسی با اتم نیتروژن ایمینی پیوند هیدروژنی درون مولکولی وجود دارد که باعث شده است تا ساختار ترکیب تا حدی مسطح باشد. با توجه به اتم‌های دهنده نیتروژن و اکسیژن موجود در ساختار، انتظار می‌رود که این لیگاند در صورت کمپلکس شدن از طریق اتم‌های O1, N1 و O3 به صورت سه دندانه به فلز متصل شود. ساختار مولکولی ترکیب آزو بازشیف و نمودار انباستگی آن به ترتیب در شکل-های ۲ و ۳ آورده شده است.

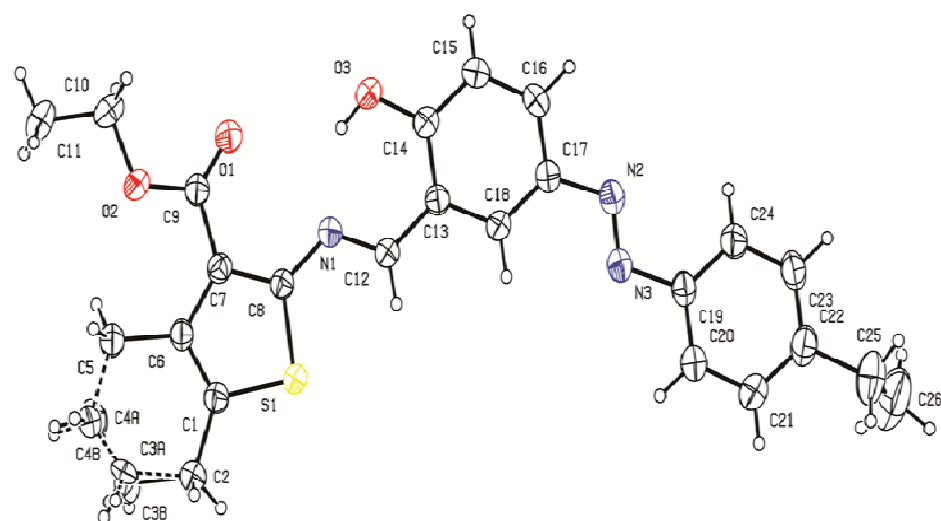
بررسی طول پیوندها در مولکول نشان می‌دهد که در حلقه سیکلوهگزان، طول پیوند C(6)-C(1)-C(1)-C(6) برابر با ۱,۳۵۹(۴) Å و مشابه با طول C=C است [۱۸]. پیوند N(1)-C(12)-C(1)-C(1)-C(12)-N(1) با طول ۱,۲۷۹(۴) Å از پیوند ساده کوتاهتر است که اين از پیوند

جدول ۳ داده‌های بلورشناسی ترکیب آزو- بازشیف (۳).

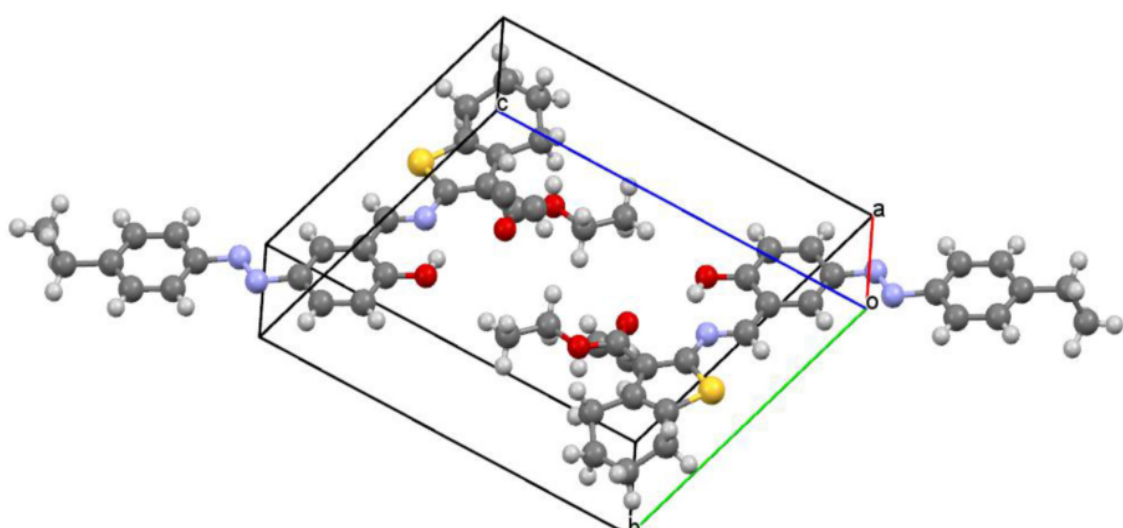
$C_{26}H_{27}N_3O_3S$	فرمول
۴۶۱,۵۷	وزن فرمولی (گرم بر مول)
۰,۵۰×۰,۴۰×۰,۲۵	اندازه بلور (میلی متر مکعب)
سه میل	سیستم بلوری
$P\bar{I}$	گروه فضایی
۹,۷۵۲(۲)	a (Å)
۱۰,۳۴۹(۲)	b (Å)
۱۳,۲۶۳(۳)	c (Å)
۸۴,۷۲(۳)	α (°)
۷۵,۸۰(۳)	β (°)
۶۲,۲۱(۳)	γ (°)
۱۱۸۰,۹(۴)	حجم یاخته یکه (Å^3)
۲	تعداد ملکول در یاخته یکه
۰,۱۹	(g.cm^3) چگالی
۲۹۸(۲)	(K) دما
-۱۰≤ h ≤۱۰, -۱۲≤ k ≤۱۲, -۱۶≤ l ≤۱۵	مقادیر h, k, l
۰,۰۶۷۶	R_1
۰,۱۶۵۹	WR ₂
۰,۰۹۰۰	R_{int}
۳۲۳	تعداد پارامترها
۸۷۴۴	تعداد بازتاب‌های کل

جدول ۴ طول پیوندها و زاویه پیوندهای مهم در ترکیب آزو- بازشیف.

		طول پیوند (Å)	زاویه پیوند (°)
C9—O1	۱,۱۸۷(۴)	C(8)-N(1)-C(12)	۱۲۱,۰(۳)
C9—O2	۱,۳۲۰(۴)	C(17)-N(2)-N(3)	۱۱۳,۲(۳)
C7—C8	۱,۳۸۷(۴)	N(2)-N(3)-C(19)	۱۱۴,۷(۳)
C8—S1	۱,۷۲۹(۳)	N(1)-C(12)-C(13)	۱۲۱,۷(۳)
C12—N1	۱,۲۷۹(۴)	C(7)-C(9)-O(2)	۱۱۱,۷(۳)
C14—O3	۱,۳۳۴(۴)	C(9)-O(2)-C(10)	۱۱۷,۴(۳)
N2—N3	۱,۲۳۵(۴)	C(1)-S(1)-C(8)	۹۱,۸۷(۱۵)
C1—C6	۱,۳۵۹(۴)	C(1)-C(6)-C(5)	۱۱۹,۹(۳)
C1—C2	۱,۴۹۷(۵)	C(6)-C(1)-S(1)	۱۱۲,۲(۲)
S1—C1	۱,۷۱۸(۳)	O(1)-C(9)-O(2)	۱۱۲,۲(۳)



شکل ۲ ساختار مولکولی ترکیب آزو بازشیف (۳).



شکل ۳ نمودار انباشتگی یاخته یکه ترکیب آزو بازشیف (۳).

[3] Spitz R.d., "In Kirk-Othmerencyclopedia of Chemical Technology", Wiley New York7 (1979) 580.

[4] Tassoni A., Germana A.M., Bagni N., "Free and conjugated polyamine content in Citrus sinensisOsbeck, cultivar Brasiliano N.L. 92, a Navel orange, at different maturation stages", Food Chem 87 (2004) 537-541.

[5] Hartman H., Schulze M., Guenther R., "Nucleophilic substitution in arylazo phenols—a simple route for preparing

قدردانی

نگارندگان مقاله از حمایتهای مالی و پژوهشی دانشگاه آزاد
اسلامی واحد خرم آباد تشکر و قدردانی می‌نماید.

مراجع

[1] Gladgich J. Mz., Hartley D., "Comprehensive Organic Chemistry", Pergamon. Oxford 2 (1979) 61-130.

[2] Ginsburg D., "Concerning Amines: Their Properties, Preparation and Reactions", PergamonOxford (1967) 62-69.

- pharmacological activity of pyrimidines: a review", J.Pharma Biomedical Sci1(2012) 15-22.*
- [15] Botros, "Azomethine dyes derived from an o-hydroxy aromatic aldehyde and a 2-aminopyridine", US Patent 405 (1977) 1119-1128.
- [16] Ispir E., "The synthesis, characterization, electrochemical character, catalytic and antimicrobial activity of novel, azo-containing Schiff bases and their metal complexes", Dyes and Pigments 82 (2009) 13-19.
- [17] Dincapl H., Toker F., Durucasu, Avcibasi N., Icli S., "New thiophene-based azo ligands containing azo methane group in the main chain for the determination of copper(II) ions", Dyes and Pigment 75 (2007) 11-24.
- [18] Menati S., Azadbakht A., Azadbakht R., Taeb A., Kakanejadifard A., "Synthesis, characterization, and electrochemical study of some novel azo-containing Schiff bases and their Ni(II) complexes", Dyes and Pigments 98 (2013) 499-506.
- [19] Kurmar S.B., Bhattacharyya S., Outta S.K., Tiekink E.R.T., Chaudhury M., "Mononuclear manganese(III) complexes of a heterodonor (N_2OS) ligand containing thiolate-type sulfur: synthesis, structure, redox and spectroscopic properties", J. Chem.SOC.Dalton.Trns (1995) 2619-2627.
- [20] Tahriri M., Yousefi M., Tabatabaei M., Mehrani K., Dehghani A., shkezari M., Dusek M., "Crystal Structure of N'-(2-hydroxy-3-methoxy benzylidene)-4-nitro benzenesulfonylhydrazide and 1,2-bis(2-hydroxy-3-methoxy-benzylidenehydrazine) as a co-crystalline compound", Iran J. Cryst. Miner26 (2018) 245-250.
- [21] Zhang Y.Z., Ruan W.J., Zhao X.J., Zhu Z.A., "Synthesis and characterization of axialcoordination cobalt(III) complexes containing chiral Salen ligands", Polyhedron 22 (2003) 1535-1545.
- [22] Percy G.C., Thorton D.A., "N-aryl salicylaldimine complexes: Infrared and PMR spectra of the ligands and vibrational frequencies chlorosubstitutedazobenzenes", Dyes and Pigments 15 (1991) 255-262.
- [6] Peters A.T., Chisowa E., "Colour-constitution relationships in 2-acylamino-4-N,N-diethylaminoazobenzene disperse dyes", Dyes and Pigments 22 (1993) 223-238.
- [7] Ho M.S., Natansohn A., Rochon P., "Azo Polymers for Reversible Optical Storage. 7. The Effect of the Size of the Photochromic Groups", Macromolecules 28 (1995) 6124-6127.
- [8] Patel A.A., Mehta G.A., "Synthesis of novel heterocyclic compounds and their biological evalution", Der Pharma Chemical 2 (2010) 215-223.
- [9] Dalbir S.S., Mohan P., Sharma J., "synthesis and evaluation of some novel piperidinothiophenes as potential antioxidant and anti-inflammatory agents", Acta. Pharm. Sci49 (2007) 29-38.
- [10] Gadad A.K., Kumar H., Shishoo C.J., Mkhazi I., Mahajanshetti K.S., "Synthesis of some 2-Aminoacetylamo-3-carboethoxy/anilido-4,5,6,7-tetrahydrobenzo [b] Thiophenes for Local Anesthetic Activity", Indian J. Chem.Soc33 (1994) 298-301.
- [11] Gillespie E., Dungan K.M., Gomol A.W., Seidehamel R.J., "Selected immunologic properties of tiprinast, a non-steroidal antiallergy agent", Int.Immuno 5 (1985) 655-660.
- [12] Mishra R., Tomar I., Singhal S., JhaK.K., "Facile synthesis of thioazolidinones bearing thiophene nucle as antimicrobial agents", Scholars Libraray Der Pharma Chemical (2012) 489-496.
- [13] Chambhare R.V., Khadse B.G., Bonde A.S., Bahekar R.H., "Synthesis and preliminary evaluation of some N-[5-(2-furanyl)-2-methyl-4-oxo-4H-thieno[2,3-d]pyrimidin-3-yl]-carboxamide and 3-substituted-5-(2-furanyl)-2-methyl-3H-thieno[2,3-d]pyrimidin-4-ones as antimicrobial agents", Eur J. Med Chem38 (2003) 89-100.
- [14] Shlpa C., Dipak S., Vimukta S., "Comparative study of microwave and conventional synthesis and

- [24] DehnoKhalaji A., Fejfarova K., Dusek M., "Synthesis and crystal structure of Schiff-base compound (E)-4-methoxy-N-(4-hydroxybenzylidene) aniline", *Iran J. Cryst. Miner* 21 (2013) 5-10.
- [23] Khalaji A.D., Fejfarova K., Dusek M., "Crystal Structure of Schiff base Compound 2-[(2-chloro-4-nitrophenyl)iminomethyl] phenol", *Iran J. Cryst. Miner* 22 (2015) 103-108.
- "of their metal(II) chelates", *J.Inorg.Nucl.Chem* 34 (1972) 3357-3367.